

リバースエンジニアリングのためのユーフリッド対称性認識手法

北海道大学 ○溝口 知広、金井 理

本研究では、測定メッシュから、よりコンパクトで設計意図に近いデータ構造を持つ CAD モデルを再構築するための、メッシュ上のユーフリッド対称性認識手法を提案する。これにより、3DCAD システムにおいて「ミラー」や「コピー」コマンドで生成されたと考えられる CAD モデル上の部分形状が、メッシュ上で認識できる。本手法では、大規模測定メッシュに対しても効率的に、また、測定ノイズに対してロバストに対称性を認識できるといった特徴を持つ。

1 緒論

近年、産業用 X 線 CT スキャナによる、機械部品の測定メッシュモデルが入手可能となり、この測定メッシュから CAD モデルを再構築する、リバースエンジニアリングの要求が高まっている。リバースエンジニアリングにおける問題点として、測定データには測定誤差やノイズが含まれるため、測定物を忠実に再現した CAD モデルを必ずしも得られるとは限らないことがある。さらに、既存の手法やソフトウェアは、測定メッシュを NURBS 曲面や解析曲面で近似し、それらの集合としての CAD モデルを再構築するものがほとんどであり、ユーザが CAD システム上でユーザが入力するような、コンパクトで品質の高い形状定義方法を再現することはできない。

本研究では、ノイズを含んだ 3 次元測定メッシュから、ユーフリッド対称な部分形状の認識を行い、その結果をコンパクトに表現し、CAD システムにおけるモデリング操作手順との対応付けを行うことにより、より品質の高いコンパクトな定義方法を持つ CAD モデルを再構築する手法の開発を目的とする。ここで、本研究においてユーフリッド対称とは、平行移動対称、回転移動対称、平面反射対称を意味する。

2 対称性認識に基づくリバースエンジニアリング

本研究では、入力として実在の機械部品の測定メッシュを想定している。機械部品の多くは、その機能からユーフリッド対称性を持つ場合が多い。

本研究の概要と位置づけを図 1 に示す。まず市販 CAD システム (CATIA) におけるモデリング操作コマンドを分析した結果、図 1 上のように、2D スケッチデータの定義 (A1), 2D スケッチから 3D ソリッドデータの生成 (A2), コピーと平行移動・回転、ミラーリングなどの操作を組み合わせた、対称性に基づく 3D ソリッドデータの生成 (A3) の手順でモデリングされることが多いことがわかった。そこで本研究では、図 1 下のように、CAD システムにおけるこれらのモデリング手順の入力となる 2D スケッチ、押し出しや回転による 2D から 3D へのソリッド化パラメータ、平行移動、回転移動、平面反射等の対称パラメータを測定データから逆算し、測定データからの CAD モデル再構築を支援する。

本報では、図 1 下 B1 の測定メッシュのユーフリッド対称性認識手法について述べる。この手法では、入力測定メッシュから、CAD システム上で 1 つの部分ソリッドを生成しコピーした後、平行移動、回転移動、平面反射移動 (ミラー) といったコマンドを適用することで生成されたと考えられる形状に対応する部分メッシュ、さらに、生成する際に定義された平行移動量や方向などの対称パラメータを推定する。

3 関連研究

リバースエンジニアリングに関する近年の代表的な手法として、松崎らの手法 [1], Varady らの手法 [2], 矢敷らの手法 [3]

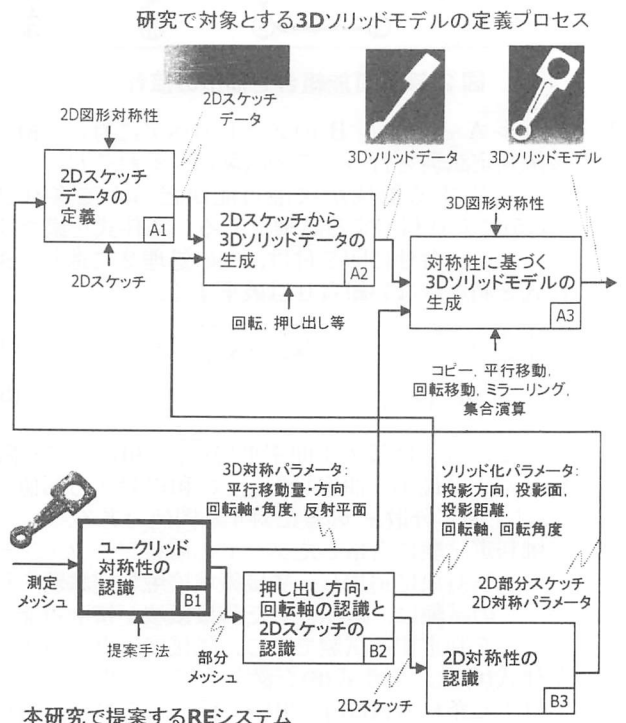


図 1：本研究の概要

が挙げられる。しかし、これらの手法で得られる CAD モデルは、メッシュ表面を曲面の集合で近似したものであり、CAD システムにおけるモデリング操作手順を直接導出するものではない。

一方、メッシュの対称性認識に関する近年の代表的な手法として、Mitra らの手法 [4] が挙げられる。この手法ではまず、メッシュ各頂点の主方向ベクトルを計算する。次に、メッシュ頂点のペアに対して、それらの法線ベクトルと主方向ベクトルを互いに一致させる 3 つの回転成分、さらに、頂点位置が一致するように平行移動成分 3 つとスケーリング成分を計算し、それらを 7 次元空間に投票する。最後にこの投票空間において、投票数の大きな bin に対応する点のペアを抽出することで、互いにユーフリッド対称な部分メッシュと、それらのアフィン変換行列が抽出できる。しかしこの手法は、メッシュの主方向ベクトルが定義できない平面領域を多く含む機械部品のメッシュには適用できないといった問題がある。

4 提案手法

本研究では、Mitra らの手法では不可能な平面領域間のユーフリッド対称性を認識可能な、図 2 に示すような 3 ステップからなる改良手法を提案する。平面を多く含む機械部品のメッシ

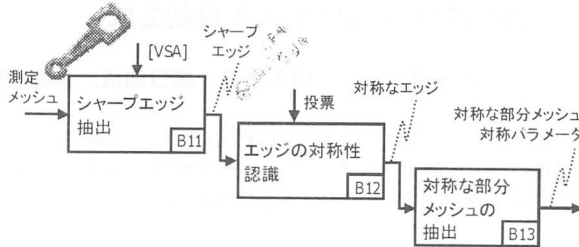


図 2 : 提案アルゴリズムの概要

ユのユークリッド対称性を認識するため、まず、その形状特徴を反映するシャープエッジを抽出し(step1)、このシャープエッジに対してスムージングを適用した後、エッジの対称性認識を行い(step2)、最後に、互いにユークリッド対称な部分メッシュとそれらの対称パラメータを抽出する(step3)。以下、step1, 2 の手法について述べる。

4.1 Variational Shape Approximation(VSA)を用いたシャープエッジ抽出(step1)

本手法ではまず、VSA[5]を適用し、メッシュを領域 R_1, R_2, \dots に分割し、各三角形に対してその領域ラベルを割り当てる。次に、各領域の境界線を抽出し、境界線上の各稜線に隣接する 2 つの三角形の領域ラベルペア (i, j) が一致する稜線集合を $E_{i,j}$ とする。最後に、各 $E_{i,j}$ に隣接する領域 R_i と領域 R_j をそれぞれ近似する平面の法線ベクトルのなす角度を計算し、これが閾値 th_{sharp} 以上である $E_{i,j}$ 内の各稜線をシャープエッジとする。閾値はいずれのメッシュに対しても、 $th_{sharp} = 45.0(\text{deg})$ に設定している。

またここで、各領域 R_i の平面度 $p(R_i)$ を式(1)で計算する。

$$p(R_i) = \frac{1}{N_i} \sum_{k=1}^n \cos^{-1}(\mathbf{n}_i \cdot \mathbf{n}_k) \quad (1)$$

ここで、 \mathbf{n}_i は領域を近似する平面の法線ベクトル、 \mathbf{n}_k は領域内の三角形の法線ベクトルである。ここで N_i は領域 R_i 内の三角形数である。

4.2 投票によるエッジの対称性認識(step2)

Step1 で得られるシャープエッジは、メッシュ上の稜線の集合であるため、滑らかな曲線とはならない。そこで、この曲線を 2 次多項式曲線で近似し、この近似曲線上にシャープエッジ上の頂点を投影することで、シャープエッジのスムージングを行う。

まず、各シャープエッジ集合 $E_{i,j}$ に隣接する 2 つの領域 R_i, R_j のうち、平面度が小さな領域を近似する平面上に、 $E_{i,j}$ 内のエッジに接続している N_k 個のメッシュ頂点をそれぞれ投影し、各頂点 p_k の投影平面上での局所パラメータ (u_k, v_k) を計算する。次にこれらの点に対して、式(2)で表される 2 次多項式曲線を最小二乗法を用いてフィッティングする。

$$f(u_k, v_k) = au_k^2 + bu_k + c \quad (2)$$

さらに、メッシュ各頂点の投影点をフィッティングされた曲線上へ投影し、この投影点 q_k における曲線の接線ベクトル \mathbf{t}_k も計算しておく。

次に、Mitra らの手法[4]をベースにした手法で、エッジ集合 $E_{i,j}$ のすべてのペア $(E_{i,j}, E_{k,l})$ に対して、対称性認識を行う。ユークリッド対称な関係にある頂点、接線ベクトル、法線ベクトルのペア $\langle (\mathbf{p}_\alpha, \mathbf{t}_\alpha, \mathbf{n}_\alpha), (\mathbf{p}_\beta, \mathbf{t}_\beta, \mathbf{n}_\beta) \rangle$ は、同じ 3 次元アフィン変換

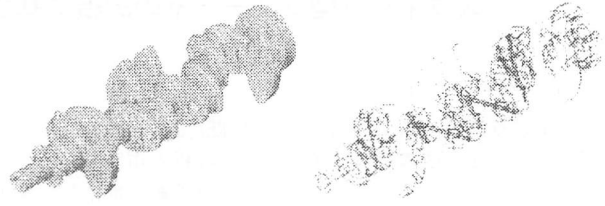


図 3 : X 線 CT 測定メッシュでの実験結果

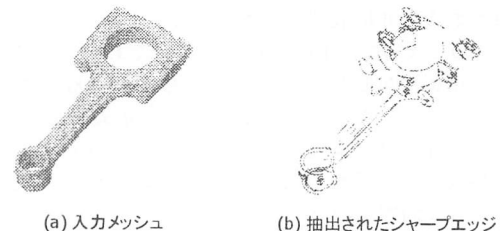


図 4 : X 線 CT 測定メッシュでの実験結果

行列によって一方から他方へ一意にマッピングされる。そこでまず、シャープエッジ上の頂点の接線ベクトル $\mathbf{t}_\alpha, \mathbf{t}_\beta$ と、投影に用いた平面の法線ベクトル $\mathbf{n}_\alpha, \mathbf{n}_\beta$ を互いに一致させるオイラー角 $(\theta_{\alpha\beta}, \varphi_{\alpha\beta}, \psi_{\alpha\beta})$ を計算し、これを回転移動成分とする。次に、 \mathbf{p}_α と \mathbf{p}_β を一致させるための各方向の移動量 $(d_{x,\alpha\beta}, d_{y,\alpha\beta}, d_{z,\alpha\beta})$ を計算し、これを平行移動成分とする。

各ペアの座標変換パラメータ 6 成分に対応させ、分割数 $(N_d, N_{d_\alpha}, N_{d_\beta}, N_\theta, N_\varphi, N_\psi)$ で分割された、 $\theta - \varphi - \psi - d_x - d_y - d_z$ 空間の対応する bin へ投票を行い、投票数が最も多い bin のパラメータから変換パラメータを推定する。本手法では、投票数閾値 N_{vote} を設定し、これを超える投票数を持つ場合のみ、ユークリッド対称性があると判定し、bin 内に投票された各パラメータの平均値を変換パラメータとして算出する。

5 実験結果と考察

図 3、図 4 に、三角形数がそれぞれ約 100 万、30 万の X 線 CT 測定メッシュ(a)に対して、本手法 step1 までを適用した結果を示す。図(b)に示すように、適切にシャープエッジが抽出できていることが分かる。処理時間は step1 のシャープエッジ抽出に、図 3 のモデルに約 4 分、図 4 のモデルに約 17 秒であった。

6 結論

本報告では、リバースエンジニアリングのための測定メッシュのユークリッド対称性認識手法の一部について報告した。また、それらを実装し、その有効性を検証した。今後は step3 のアルゴリズムの詳細を検討するとともに、残りの実装を行い、検証・比較を行う予定である。

参考文献

- [1] 松崎ら. リバースエンジニアリングソフト MOSAIC の開発(第 3 報). 精密工学会秋季大会, A44, 2007.
- [2] T. Varady *et al.*. Automatic extraction of surface structures in digital shape reconstruction, CAD, 39(5), 379-388, 2007.
- [3] 矢敷ら. フィーチャ抽出に基づく 3 次元計測データからの CAD データ生成. 精密工学会論文誌, 5, 593-599, 2007.
- [4] N. J. Mitra *et al.*. Partial and approximate symmetry detection for 3D geometry, ACM TOG, 25(3), 2006.
- [5] D. C. Steiner *et al.*. Variational shape approximation, ACM TOG, 23(3), 2004.